

V606

# **Messung der Suszeptibilität paramagnetischer Substanzen**

Sonia Chander  
sonia.chander@tu-dortmund.de

Jana Schlücking  
jana.schluecking@tu-dortmund.de

Durchführung: 13.04.2021

Abgabe: DATUM

TU Dortmund – Fakultät Physik

# Inhaltsverzeichnis

<b>1 Zielsetzung</b>	<b>3</b>
<b>2 Theorie</b>	<b>3</b>
2.1 Berechnung der Suszeptibilität . . . . .	3
2.2 Experimentelle Ermittlung der Suszeptibilität . . . . .	5
2.3 Selektivverstärker . . . . .	6
<b>3 Durchführung</b>	<b>8</b>
3.1 Untersuchung des Selektivverstärkers . . . . .	8
3.2 Messung der Suszeptibilität . . . . .	8
<b>4 Auswertung</b>	<b>8</b>
<b>5 Diskussion</b>	<b>12</b>
<b>6 Anhang</b>	<b>12</b>
<b>Literatur</b>	<b>15</b>

# 1 Zielsetzung

In diesem Versuch soll die Suszeptibilität von paramagnetischen Substanzen gemessen werden. Dazu wird von zwei Proben Seltener-Erd-Atome einmal theoretisch die Suszeptibilität berechnet und dann im Experiment mit Hilfe einer Brückenschaltung ermittelt. Anschließend werden die Werte miteinander verglichen.

## 2 Theorie

### 2.1 Berechnung der Suszeptibilität

In Materie gilt für die magnetische Flussdichte  $\vec{B}$

$$\vec{B} = \mu_0 \vec{H} + \vec{M},$$

wobei  $\mu_0$  die magnetische Feldkonstante,  $\vec{H}$  die magnetische Feldstärke und  $\vec{M}$  die Magnetisierung bezeichnet. Atomare magnetische Momente lassen die Magnetisierung entstehen, welche wie folgt von  $\vec{H}$  abhängt mit der Suszeptibilität  $\chi$ :

$$\vec{M} = N\mu_0\chi\vec{H} \quad (1)$$

Paramagnetismus wird von verschiedenen Orientierungen der magnetischen Momente zu einem äußeren anliegenden Feld erzeugt. Daher tritt er nur bei Atomen, Ionen oder Molekülen auf, die ein nicht-verschwindenden Drehimpuls haben. Er ist grundsätzlich eine temperaturabhängige Größe, da sich durch thermisch bedingte Bewegungen die Orientierung der Momente dauerhaft ändert.

Der Gesamtdrehimpuls  $\vec{J}$  eines Atoms setzt sich zusammen aus dem Kerndrehimpuls, dem Bahndrehimpuls der Elektronenhülle  $\vec{L}$  und dem Eigendrehimpuls der Elektronen (Spin)  $\vec{S}$ , wobei sich die letzten beiden Größen als Summe der Einzeldrehimpulse zusammensetzt. Der Kerndrehimpuls kann für diese Betrachtung vernachlässigt werden, sodass die  $LS$ -Kopplung gilt:

$$\vec{J} = \vec{L} + \vec{S} \quad (2)$$

Aus der Quantenmechanik ist bekannt, dass

$$\vec{\mu}_L = -\frac{\mu_B}{\hbar} \vec{L} \quad (3)$$

$$\vec{\mu}_S = -g_S \frac{\mu_B}{\hbar} \vec{S} \quad (4)$$

gilt, wobei  $\mu_B$  das Bohr'sche Magneton und  $g_S$  das gyromagnetische Verhältnis bezeichnet. Mit der Aussage  $|\vec{J}| = \sqrt{J(J+1)} \cdot \hbar$ , welche auch analog für  $\vec{S}$  und  $\vec{L}$  gilt, folgt schließlich:

$$|\vec{\mu}_L| = \mu_B \cdot \sqrt{L(L+1)} \quad (5)$$

$$|\vec{\mu}_S| = g_S \mu_B \cdot \sqrt{S(S+1)} \quad (6)$$



Hier beschreibt  $k_B$  die Boltzmann-Konstante und  $T$  die Temperatur. Für hohe Temperaturen ergibt sich der Zusammenhang

$$\chi \sim \frac{1}{T},$$

welches als Curiesche Gesetz des Paramagnetismus bekannt ist.

Bei den zu untersuchenden Proben in diesem Versuch handelt es sich um Seltene-Erd-Atome, die durch 4f-Elektronen stark paramagnetisch sind. Da die 4f Elektronen innerhalb der 6s-Schale liegen, sind die Ionen dieser Atome paramagnetisch.

Um die Werte von  $J$ ,  $S$  und  $L$  herauszufinden, werden die Hund'schen Regeln und das in ihnen angesprochene Pauli-Prinzip benötigt. Das Pauli-Prinzip sagt aus, dass sich jedes Elektron in einer Hülle in mindestens einer Quantenzahl von seinem Nachbarn unterscheiden muss. Daraus folgt direkt, dass auf einer Schale nur endlich viele Elektronen sein können.

Die Hund'schen Regeln besagen, dass

1. Der Gesamtspin  $\vec{S}$  ist die nach dem Pauli-Prinzip maximal mögliche Summe der Einzelspins  $\vec{s}_i$ :  $\vec{S} = \sum_i \vec{s}_i$ .
2. Der Drehimpuls  $\vec{L}$  ist die nach der ersten Regel und dem Pauli-Prinzip maximal mögliche Summe der Bahndrehimpulse  $\vec{l}_i$ :  $\vec{L} = \sum_i \vec{l}_i$ .
3. Der Gesamtdrehimpuls  $\vec{J}$  errechnet sich für eine weniger als zur Hälfte gefüllten Schale nach  $\vec{J} = \vec{L} - \vec{S}$  und für einer mehr als zur Hälfte gefüllten Schale nach  $\vec{J} = \vec{L} + \vec{S}$ .

## 2.2 Experimentelle Ermittlung der Suszeptibilität

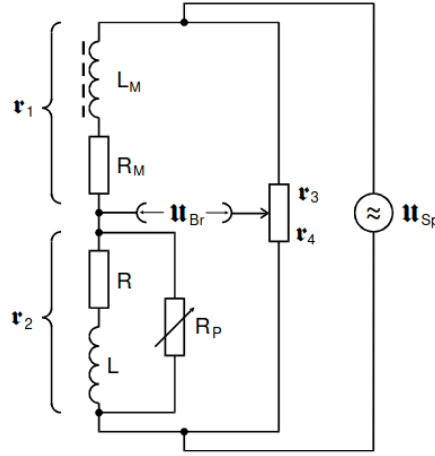
Um die Suszeptibilität im Experiment zu ermitteln, wird eine Brückenschaltung nach dem Schema in Abbildung 2 aufgebaut. Wird die Brücke ohne Probe abgeglichen und die Brückenspannung mit einer Probe in einer der Spulen gemessen, kann die Suszeptibilität errechnet werden. Durch die beschränkte Betrachtung von großen Frequenzen (falls  $\omega^2 L^2 \ll R^2$ ) lässt sich der Zusammenhang

$$\chi_U(\omega \rightarrow \infty) = 4 \frac{F U_{Br}}{Q U_{Sp}} \quad (10)$$

zeigen, wobei  $F$  der Querschnitt der Spule,  $Q$  der Querschnitt der Probe und  $U_{Sp}$  die Speisespannung der Brückenschaltung.

Die Suszeptibilität kann auch errechnet werden, wenn die Brückenschaltung mit Probe wieder abgeglichen wird und die Änderung der Widerstände notiert wird. Aus der neuen Abgleichbedingung lässt sich die Formel

$$\chi_R = 2 \frac{\Delta R}{R_3} \frac{F}{Q} \quad (11)$$



**Abbildung 2:** Aufbau einer Brückenschaltung zur Vermessung der paramagnetischen Substanzen [1].

ableiten. Hier steht  $\Delta R$  für die Änderung der Widerstandes  $R_3$  von den beiden abgeglichenen Zuständen.

Da im Experiment staubförmiges Material benutzt wird, muss der Querschnitt  $Q_{\text{real}}$  ermittelt werden, welcher den Querschnitt eines Einkristalles angibt. Aus den Formeln

$$Q_{\text{real}} = Q \frac{\rho_p}{\rho_w}$$

$$\rho_p = \frac{M_p}{QL}$$

lässt sich der Zusammenhang

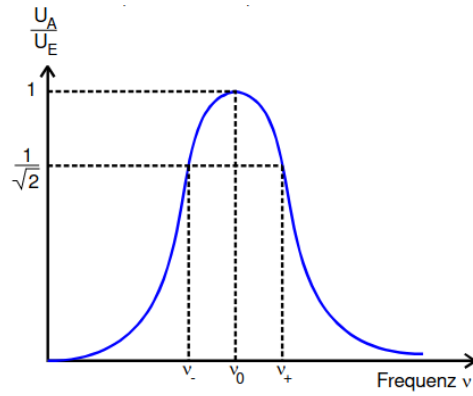
$$Q_{\text{real}} = \frac{M_p}{L\rho_w} \quad (12)$$

angeben. Hierbei beschreibt  $M_p$  die Masse der Probe,  $L$  ihre Länge und  $\rho_x$  die Dichte der Probe ( $x = p$ ) und des Einkristalles ( $x = w$ ).

### 2.3 Selektivverstärker

Damit die Brückenspannung nicht unter den Störungen an den Ausgangsklemmen der Brückenschaltung verloren geht, wird das Signal verstärkt und gefiltert. Da die Eingangsspannung der Brücke monofrequent ist, kann ein Selektivverstärker benutzt werden. Dies ist ein Gerät mit glockenförmiger Filterkurve, wie in der Abbildung 3 zu sehen ist. Die Güte  $Q$  eines Selektivverstärkers ist ein Maß seiner Qualität, welche über

$$Q = \frac{\nu_0}{\nu_+ - \nu_-}$$



**Abbildung 3:** Die Filterkurve eines Selektivverstärkers.[1]

gegeben ist, wobei  $\nu_+$  bzw  $\nu_-$  die Frequenzen beschreiben, wo das Verhältnis  $\frac{U_A}{U_E} = \frac{1}{\sqrt{2}}$  ist.  $\nu_0$  beschreibt die sogenannte Durchlassfrequenz, also die Frequenz, die am wenigsten unterdrückt wird.

### 3 Durchführung

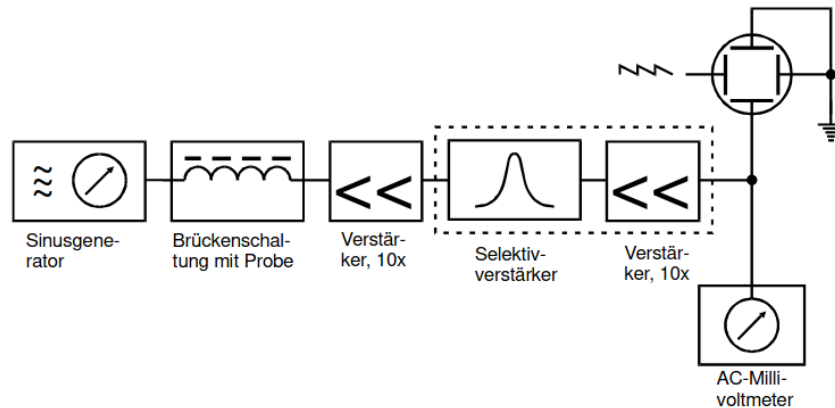


Abbildung 4: Schematischer Aufbau des Experimentes.[1]

Der Versuchsaufbau ist nach Abbildung 4 aufgebaut. Es wird eine Brückenschaltung, welche dem Schema von Abbildung 2 gleicht, mit einem Sinusgenerator gespeist. Da an den Ausgangsklemmen der Brückenschaltung eine Störspannung vorhanden ist, welche die Brückenspannung überdecken würde, wird neben Linearverstärkern auch ein Selektivverstärker benutzt. Dieser lässt nur bestimmte Spannungen zu, welche dann von den AC-Millivoltmeter und dem Oszilloskop angezeigt werden.

#### 3.1 Untersuchung des Selektivverstärkers

Um die Filterkurve des Selektivverstärkers zu ermitteln, wird dieser mit einer konstanten Eingangsspannung  $U_E$  gespeist. Es wird eine Durchlassfrequenz  $\nu_0$  zwischen 20 und 40 kHz eingestellt. Mit Hilfe eines Synthesizers werden verschiedene Frequenzen eingestellt und für diese jeweils die Ausgangsspannung  $U_A$  gemessen.

#### 3.2 Messung der Suszeptibilität

Nun wird die Signalfrequenz des Sinusgenerators auf die Durchlassfrequenz des Selektivverstärkers gestellt. Die Brückenschaltung wird abgeglichen und die Werte von  $R_3$  und  $R_4$ , sowie  $R_p$  werden notiert. Anschließend wird die Probe in eine der Spulen eingesetzt und die Brückenspannung gemessen. Danach wird die Brücke wieder abgeglichen und die neuen Werte von  $R_3$ ,  $R_4$  und  $R_p$  notiert. Dieses Vorgehen wird für jede der Proben drei Mal wiederholt. Die Proben sind  $\text{Dy}_2\text{O}_3$  und  $\text{Gd}_2\text{O}_3$ .

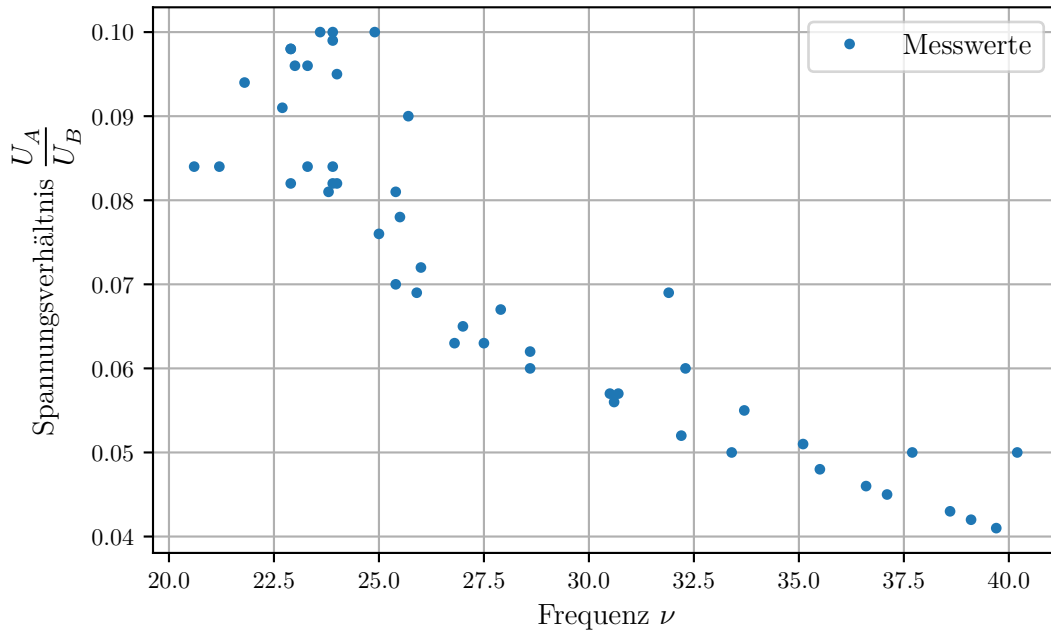
### 4 Auswertung

Der Selektivverstärker soll zunächst untersucht werden. Dazu wird die Frequenz und die dazugehörige Ausgangsspannung  $U_A$  im Frequenzbereich von 20 bis 40 kHz aufgenommen.



Die Messpaare sind in der Tabelle 1 zu finden. Zudem ist die Filterkurve in Abbildung 5 zu sehen. Aus der Abbildung 5 ist ein Spannungshoch im Frequenzbereich von 22,5 und 25 kHz zu erkennen. Weitere Aussagen können aus den Messergebnissen nicht getroffen werden.

**Abbildung 5:** Filterkurve des Selektivverstärkers.



**Tabelle 1:** Messergebnisse für die Filterkurve des Selektivverstärkers.

$U_A$ [mV]	$\nu$ [ $\mu$ A]
20.6	84
21.2	84
21.8	94
22.7	91
22.9	98
22.9	82
22.9	98
23.0	96
23.3	84
23.3	96
23.6	100
23.8	81
23.9	82
23.9	84
23.9	99
23.9	100
24.0	82
24.0	95
24.9	100
25.0	76
25.4	70
25.4	81
25.5	78
25.7	90
25.9	69
26.0	72
26.8	63
27.0	65
27.5	63
27.9	67
28.6	60
28.6	62
30.5	57
30.6	56
30.7	57
31.9	69
32.2	52
32.3	60
33.4	50
33.7	55
35.1	51
35.5	48
36.6	46
37.1	45
37.7	50
38.6	43
39.1	42
39.7	41
40.2	50

**Tabelle 2:** Messergebnisse zur Bestimmung der Suszeptibilitäten.

Stoff	$U_{\text{Br ohne}} [\text{mV}]$	$U_{\text{Br mit}} [\text{mV}]$	$R_{3\text{ohne}} [\text{m}\Omega]$	$R_{3\text{mit}} [\text{m}\Omega]$
$\text{Dy}_2\text{O}_3$	0.9	3.7	2964.5	1690.0
	1.3	3.92	2981.0	1530.0
	1.2	4.2	3059.0	1485.5
$\text{Gd}_2\text{O}_3$	2.0	4.05	3136.5	2360.0
	2.15	4.07	3157.5	2398.0
	2.1	3.85	3137.0	2381.0

**Tabelle 3:** Suszeptibilitäten aus den Messergebnissen.

Stoff	$\chi_U$	$\chi_R$
$\text{Dy}_2\text{O}_3$	$-7.3832 \pm 0.5442$	$0.1219 \pm 0.00633$
$\text{Gd}_2\text{O}_3$	$-3.8715 \pm 0.05117$	$-3.8715 \pm 0.05117$

**Tabelle 4:** Werte der Proben.

Stoff	$\rho [\text{g}/\text{cm}^3]$	$m [\text{g}]$	$l [\text{cm}]$	$M [\text{g}/\text{mol}]$	$Q [\text{cm}^2]$
$\text{Dy}_2\text{O}_3$	7.8	15.1	17.3	372.9982	0.1119
$\text{Gd}_2\text{O}_3$	7.4	14.08	17.5	362.4982	0.1087

**Tabelle 5:** Quantenzahlen und Landé-Faktoren.

Stoff	$L$	$S$	$J$	$g_J$
$\text{Dy}_2\text{O}_3$	5	2.5	7.5	1.33
$\text{Gd}_2\text{O}_3$	0	3.5	3.5	2.0

**Tabelle 6:** Vergleich der Suszeptibilitäten.

Stoff	$\chi_T$	$\chi_U$	$\frac{\chi_T - \chi_U}{\chi_T}$	$\chi_R$	$\frac{\chi_T - \chi_R}{\chi_T}$
$\text{Dy}_2\text{O}_3$	2.1327	$0.08688 \pm 0.0048$	0.9593	$7.3832 \pm 0.5442$	-2,4619
$\text{Gd}_2\text{O}_3$	1.1573	$0.06075 \pm 0.00391$	0.9475	$3.8715 \pm 0.05117$	-2.3453

## 5 Diskussion

Andere Einstellungen als in der Anleitung

Die Untersuchung des Selektivverstärkers wurde durch den Sinusgenerator erschwert. Bei jedem Versuch die Frequenz zu ändern, sprang der Sinusgenerator durch den ganzen Frequenzbereich. Das Ablesen am AC-Millivoltmeter stellte sich genau so schwierig dar, da der Zeiger sich oft durch die ganze Skala frei bewegte. Dadurch konnten weder klein- noch großschrittige Untersuchungen vorgenommen werden. Es wurden Messpaare aufgenommen, die über einen kleinen Zeitraum stabil wirkten. Teilweise wurden auch verschiedene Spannungen bei denselben Frequenzen notiert. Eine Filterkurve ist nicht zu erkennen, somit sind Aussagen zum Selektivverstärker schwer zu treffen.

Die Stoffe  $\text{Dy}_2\text{O}_3$  und  $\text{Gd}_2\text{O}_3$  wurden verwendet, da die Messungen vor und nach dem Einführen der Probe sichtbare Differenzen haben. Es sind große Abweichungen bei den ermittelten Werten und den Theoriewerten zu sehen, besonders zwischen  $\chi_T$  und  $\chi_R$ . Hierbei beträgt die Abweichung bei beiden Stoffen um 200%. Zwischen  $\chi_T$  und  $\chi_U$  besteht bei beiden Stoffen jeweils eine Abweichung von ungefähr 95%. Diese großen Ungenauigkeiten wurden schon nach der Untersuchung des Selektivverstärkers erwartet.

## 6 Anhang

V606 -

$R_M = 998 \Omega$   
 $R = 998 \Omega$

Messung des selektivverstärkers  $Q = 10$

$U_E = 1V$

$V [kHz]$	$U [mV]$		
20,6	84		
21,2	84		
21,8	94		
22,4	82	← geschaltet zu 200k am Generator	
24,9	100		
25,9	69	$V [kHz]$	$U [mV]$
26,8	63	30,7	57
27,0	65		
27,5	63	28,6	62
28,6	60	27,9	67
30,6	56	26,0	72
32,2	52	25	76
33,4	50	25,4	81
30,5	57	23,8	81
37,7	50	24	82
35,1	51	25,5	78
38,6	43	22,7	91
39,1	42	23	96
25,4	70	23,3	84/96
39,7	41	22,9	98
36,6	46	24,0	95
37,1	45	23,9	92/94
35,5	48	25,7	90
33,7	55	40,2	50
32,3	60	23,9	89/100
31,9	69	23,6	100

Q =

Abbildung 6: Die aufgenommenen Werte für die Messung der Filterkurve des Selektivverstärkers.



Dy<sub>2</sub>O<sub>3</sub> (15,1 g, 17,3; 17,4; 17,3 [cm])

1) ohne Probe  $U_{Br} = 0,9 \text{ mV}$ ,  $R_3 = 592,9 \cdot 5 \text{ m}\Omega$

mit Probe  $U_{Br} = 3,7 \text{ mV}$ ,  $R_3 = 338 \cdot 5 \text{ m}\Omega$

2) ohne Probe  $U_{Br} = 1,3 \text{ mV}$ ,  $R_3 = 596,2 \cdot 5 \text{ m}\Omega$

mit Probe  $U_{Br} = 3,92 \text{ mV}$ ,  $R_3 = 306 \cdot 5 \text{ m}\Omega$

3) ohne Probe  $U_{Br} = 1,2 \text{ mV}$ ,  $R_3 = 611,8 \cdot 5 \text{ m}\Omega$

mit Probe  $U_{Br} = 4,2 \text{ mV}$ ,  $R_3 = 297,1 \cdot 5 \text{ m}\Omega$

Gd<sub>2</sub>O<sub>3</sub> (14,08 g, 15,17,6; 17,5 [cm])

1) ohne Probe  $U_{Br} = 2 \text{ mV}$ ,  $R_3 = 627,3 \cdot 5 \text{ m}\Omega$

mit Probe  $U_{Br} = 4,05 \text{ mV}$ ,  $R_3 = 472 \cdot 5 \text{ m}\Omega$

2) ohne Probe  $U_{Br} = 2,15 \text{ mV}$ ,  $R_3 = 631,5 \cdot 5 \text{ m}\Omega$

mit Probe  $U_{Br} = 4,07 \text{ mV}$ ,  $R_3 = 479,6 \cdot 5 \text{ m}\Omega$

3) ohne Probe  $U_{Br} = 2,1 \text{ mV}$ ,  $R_3 = 627,4 \cdot 5 \text{ m}\Omega$

mit Probe  $U_{Br} = 3,85 \text{ mV}$ ,  $R_3 = 476,2 \cdot 5 \text{ m}\Omega$

vermutliche Temperatur: 17°C

mit Verstärker: 5,35 mV ohne Verstärker 4,55 mV

1) 0,25 mV  $R_3 = 362,5 \cdot 5$  0,5 mV

Ge

Abbildung 7: Die notierten Werte von der Vermessung der paramagnetischen Proben.

## Literatur

- [1] TU Dortmund. *Versuchsanleitung zu Messung der Suszeptibilität paramagnetischer Substanzen*. 2021.